

Technical University of Denmark



Tropospheric degradation mechanisms of chloroflourocarbons

Nielsen, Ole John; Bjarnov, E.; Pagsberg, Palle Bjørn; Sillesen, A.

Publication date:
1982

Document Version
Publisher's PDF, also known as Version of record

[Link back to DTU Orbit](#)

Citation (APA):

Nielsen, O. J., Bjarnov, E., Pagsberg, P. B., & Sillesen, A. (1982). Tropospheric degradation mechanisms of chloroflourocarbons. (Risø-M; No. 2337).

DTU Library

Technical Information Center of Denmark

General rights

Copyright and moral rights for the publications made accessible in the public portal are retained by the authors and/or other copyright owners and it is a condition of accessing publications that users recognise and abide by the legal requirements associated with these rights.

- Users may download and print one copy of any publication from the public portal for the purpose of private study or research.
- You may not further distribute the material or use it for any profit-making activity or commercial gain
- You may freely distribute the URL identifying the publication in the public portal

If you believe that this document breaches copyright please contact us providing details, and we will remove access to the work immediately and investigate your claim.

Risø-M-2337

TROPOSFERISKE NEDBRYDNINGSMEKANISMER FØR HALOGENEREDE
HYDROCARBONER

Ole John Nielsen, Erik Bjarnov, Palle Pagsberg og
Alfred Sillesen

Abstract. Denne rapport er udarbejdet i forbindelse med en kontrakt opgave for Nordisk Ministerråd. Efter en kort indføring i problemstillingen, beskrives vor eksperimentelle procedure. De fundne hastighedskonstanter for reaktionerne mellem hydroxylradikalet og freon-12, freon-22 og methylchloroform diskutes. I konklusionen gøres der betragtninger over det fremtidige arbejde.

INIS descriptors. CHEMICAL REACTION KINETICS, ENVIRONMENTAL IMPACTS, FREONS, GASES, HYDROXYL RADICALS, OZONE LAYER, PULSED IRRADIATION, RADIOLYSIS, TROPOSPHERE

UDC 547.412 : 551.510.534

Juni 1982

Forsøgsanlæg Risø, DK 4000 Roskilde, Danmark

ISBN 87-550-0830-5

ISSN 0418-6435

Rise Repro

INDHOLD

	Side
INDLEDNING	5
EKSPERIMENTELT	6
RESULTATER	7
DISKUSSION	9
KONKLUSION	11
REFERENCER	13
TABELLER OG FIGURER	14

INDLEDNING

Projektet har direkte relation til den løbende diskussion vedrørende den potentielle nedbrydning af det stratosfæriske ozonlag som følge af anthropogene chlorofluorocaboner (CFC). Ozonkoncentrationen udviser så stor naturlig fluktuation, at man ikke kan drage konklusioner på baggrund af målinger. Derfor må informationer om ændringer i ozonkoncentrationen fås fra atmosfæriskemiske modelberegnninger. Disse modelberegnninger er meget komplekse, f. eks. indgår der mere end 200 forskellige kemiske reaktioner. De værdier af hastighedskonstanterne, der anvendes i modelberegningerne revideres fortsløbende i takt med fremkomsten af nyere pålidelige målinger (Derwent et al. 1981) Den fare et bestemt specie repræsenterer i relation til ozonlagets stabilitet afhænger bl. a. af de mulige troposfæriskemiske reaktioner. Flere uafhængige bestemmelser med forskellig teknik af relevante hastighedskonstanter vil øge pålideligheden af modelberegningerne. Der er nylig publiceret et glimrende review om ozonproblematikken (Burchardt, 1981).

I 1980 blev hastighedskonstanterne for reaktionerne ved stuetemperatur mellem OH-radikaler og freon-22 (F-22) og methylchloroform bestemt af os (Bjarnov, 1980) ved hjælp af gasfase pulsradiolyse kombineret med kinetisk spektroskopi. Mæjetlige bestemmelser af hastighedskonstanter for F-22 reaktioner er specielt vigtige. F-22 er nemlig den mest anvendte erstatning for F-11 og F-12, og mængden af F-22 i atmosfæren stiger eksponentielt med tiden (se New Scientist, 1981).

I 1981 har der været udført eksperimenter med den samme teknik til bestemmelse af hastighedskonstanter for reaktioner mellem OH og den perhalogenerede F-22 ved stuetemperatur og ca. 70 grader celsius. Ved bestemmelse af små hastighedskonstanter for OH-CFC reaktioner har vor teknik den fordel, at vi ikke har problemer med quenching, når man går op i CPC-koncentration,

som man ellers har med resonans fluorescence teknikken, der er den mest anvendte teknik til bestemmelse af OH-CPC hastighedskonstanter.

EKSPERIMENTELT

Gasblandingerne bestråles med 2 MeV elektroner fra en Pebetron 705B felt emissions acceleratør med en pulslængde på 20 nanosekunder og en maksimal strømstyrke på 3000 A. Alle gasblandinger fremstilles i et almindeligt glas vakuumsystem, hvorfra de overføres til en 1 liter rustfri stålcelle (Gordon et al., 1977), forsynet med et sat konjugerede spejle. Dette arrangement gør det muligt at vælge lysvejlænger på 40, 80, 120 og 160 cm vinkelret på elektronstrålen. Analyselyset fås fra en Varian 150 W højtryks Xenon lampe, som er forsynet med "pulser" og "optisk tilbagekobling" således at lysintensiteten kan forøges 30-50 gange i UV-området i pulstider op til 10^{-2} s. Lyset analyseres i et 1 meter Wilger-Watts gitterspektrometer med en dispersion på 8 Å/mm. Intensiteten af lyset, der kommer ud af spektrometerets udgangsspalte følges med en Hamamatsu R928 photomultiplikator. De forstærkede signaler opsamles og digitaliseres i en 8100 Biomation transient recorder og overføres til en PDP8 minicomputer. Her kan rådata transformeres til absorbans versus-tid-kurver eller andre relevante typer plot. Udvalgte rådata kan skrives på magnetbånd til videre databehandling på Risø centrale regnearanlæg, hvor eksperimentelle kinetik-kurver kan sammenlignes med simulerede modeller. Den eksperimentelle opstilling er skematisk vist i figur 1 og beskrevet i detaljer af Hansen et al. (1979).

Dannelsen og henfald af OH-radikalet blev fulgt ved en bølgelængde på 3090 Å med en spektral båndbredde på ca. 1 Å. Forskellen mellem den naturlige liniebredde for OH-linierne ved 3090 Å og den benyttede spektrale båndbredde gør det nødvendigt at anvende en modifieret version af LambertBeers lov:

$$A = (e \cdot C \cdot l)^n,$$

hvor A er absorbansen, e er den molare ekstinktionskoefficient, C er koncentrationen af det absorberende stof, og l er lysets vejlængde i stoffet, n er eksponenten i den modificerede Lambert-Beers lov, som bestemmes eksperimentelt og afhænger af linieformen og den benyttede spektrale spaltebredde.

Bestemmelse af n er sket på to måder: 1) ved at variere lysvej-længden i cellen og 2) ved at variere dosis i elektronpulsen, altså ved at variere koncentrationen af OH-radikaler. n blev betemt til 0.77.

Ud over de EDB programmer, der blev udviklet i forbindelse med projektet, bruger vi et program, CHEMSIMUL, der er udviklet på Risø af O. Lang Rasmussen. Dette program oversætter kemiske reaktionsligninger til det relevante sæt differentialligninger, som løses ved numerisk integration efter specifikation af begyndelsesbetingelserne. Effekten af parameter variationer kan studeres på en grafisk computer-terminal.

RESULTATER

Ved pulsradiolyse af rene vand-argon blandinger dannes først argon-ioner, Ar⁺, og eksiterede argon-atomer, Ar*. Dannelsen af OH-radikaler sker via reaktionen:



I tabel 1 er givet oversigt over de vigtigste reaktioner ved pulsradiolyse af vand-argon blandinger samt deres hastighedskonstanter. Der dannes altså lige store mængder H og OH. Dannelsen af OH er momentan i forhold til den tidsskala, i hvilken vi følger OH-henfaldet, ca. 1 milisekund. De dannede primære radikaler reagerer derpå med hinanden og med tilsatte stoffer, under dannelsen af "sekundære radikaler" som reagerer videre til

stabile produkter. Under vore forsøgsbetingelser kan OH-henfaldet i det rene vand-argon system beskrives ved:

(k er den relevante hastighedskonstant).

$$-\frac{d(OH)}{dt} = k_{12}(H) (OH) + 2k_{11a}(OH)^2 + 2k_{11b}(OH)^2,$$

og ved tilsatning af F-12 til systemet:

$$-\frac{d(OH)}{dt} = k_{12}(H) (OH) + 2k_{11a}(OH)^2 + 2k_{11b}(OH)^2 + k(F-12) (OH),$$

og efter division med (OH):

$$-\frac{d\ln(OH)}{dt} = k_{12}(H) + 2k_{11a}(OH) + 2k_{11b}(OH) + k(F-12).$$

Når freon koncentrationen er tilstrækkelig høj, dvs:

$$k(F-12) > k_{12}(H) + 2k_{11a}(OH) + 2k_{11b}(OH),$$

kan man se bort fra de 3 første led og udtrykket degenererer til de velkendte pseudo-første-ordens udtryk:

$$-\frac{d\ln(OH)}{dt} = k(F-12),$$

hvorfra man efter integration får det simple udtryk for halveringstiden, t, for OH-henfaldet:

$$t = \ln 2 / k(F-12) \text{ eller } 1/t = k(F-12) / \ln 2.$$

Ved stuetemperatur er der for at få et mål for den eksperimentelle usikkerhed kørt 2 uafhængige serier af eksperimenter. I den første serie på 31 eksperimenter har vi målt på vand-argon systemet med henholdsvis 0,1,2,4 og 8 mbar F-12. I den anden serie på 19 eksperimenter har vi brugt 0,4 og 8 mbar F-12. I figur 2 er plottet den reciproke halveringstid mod F-12 koncentrationen samt et første ordens fit for henholdsvis serie 1 og 2. Værdien af hastighedskonstanten, k, i de to serier er bestemt til $1.1 \times 10^7 M^{-1}s^{-1}$.

I tabel 2 er de tre hastighedskonstanter vi har bestemt indtil nu sammenlignet med tidligere publicerede verdier.

Af tidsmessige årsager er der kørt for få højtemperaturtorsøg til at kunne rapportere egentlige resultater endnu.

DISKUSSION

Den mest isjenfaldende og overraskende forskel i tabel 2 vedrører P-12, hvor vi på grundlag af det foreliggende arbejde beregner en hastighedskonstant, som er ca. 18 gange større end den øvre grænseværdi for tidligere publicerede resultater fra internationalt anerkendte forskningslaboratotier (Atkinson et al., 1975; Howard og Evenson, 1976; Cox et al., 1976; Chang og Kaufman, 1977)

Der er to muligheder for systematiske fejlkilder:

- (1) Renhed af den anvendte P-12
- (2) Pejlfortolkning af eksperimentelle måleresultater.

Ad.(1). Vi har anvendt P-12 leveret af Matheson med specifikationen 99%. Den observerede "tilsyneladende hastighedskonstant" kunne naturligvis forklares ved et indhold af en liten urenhed, "X", som er 100 gange mere reaktiv end P-12. Analyse ved hjælp af gaschromatografi/masespektrometri har ikke ført til påvisning af reaktive urenheder, som f. eks. HCl eller andre freontyper. Det maximale indhold af uspecifiserede urenheder skønnes at være mindre end 0.1%. Alligevel har vi fra det tyske firma Hoechst fremstillet en anden P-12 sample, som vi har foretaget kontroleksperimenter med. Disse eksperimenter har vist at der ikke er grund til at betvivle renheden at den anvendte P-12.

Ad(2). Ved hjælp af modelberegninger har vi undersøgt den mulighed, at de observerede ændringer i OH-levetiden eventuelt kan

tilskrives de H-atomer, som produceres samtidig med OH. I modelen har vi medtaget reaktionerne:



hvor R-12 er P-12 radikalet og P er et reaktions produkt.

Med hensyn til OH-levetiden er effekten af (b) og (c) med stigende P-12 koncentration gradvist erstatter den "naturlige baggrundsreaktion":



Hastighedskonstanten for (b) er velkendt, men for (a) og (c) har vi i modellen anvendt "skønede værdier".

Den absolute værdi af hastighedskonstanten for (a) er kun af betydning i den forstand, at den fastsætter det koncentrationsniveau hvor effekten på OH-levetiden observeres. Den maximale ændring af OH-levetiden er imidlertid kun bestemt af forholdet:

$$k_{12}/(k_b+k_c)$$
.

Det karakteristiske for de undersøgte model er, at ændringer i OH-levetiden har en maximalværdi svarende til at alle H-atomer, ved høj P-12 koncentration omsattes efter (a). Ved yderligere forøgelse af koncentrationen af P-12 forbliver OH-levetiden konstant. Dette er i modstrid med de eksperimentelle data, som viser en linier sammenhang mellem den reciproke OH-levetid og P-12 koncentrationen, altså intet "mætningsfenomen" i det undersøgte P-12 koncentrationsområde.

Derfor synes den ovenstående reaktionsmekanisme ikke at repræsentere en mulighed for fejlfortolkning af de eksperimentelle data.

Vi har endvidere undersøgt effekten af en mulig kontamination med ilt. Også i dette tilfælde forudsiger modellen et mætningsfanomen, som ikke er observeret eksperimentelt.

KONKLUSION

På grundlag af mange års erfaringer nærer vi stor tillid til vores modelberegninger, og sammenfald mellem det observerede "naturlige OH-henfald" og OH-model-henfaldskurven viser, at beskrivelsen af de "naturlige henfaldsmekanismer" i det rene vand-argon system er helt tilfredsstillende.

Åndringerne, som finder sted efter tilsetning af P-12 til systemet er forholdsvis enkle at beskrive i modellen. Derfor er det næppe sandsynligt, at vi har overset eventuelle reaktionsmekanismer, som kunne give anledning til fejlfortolkning af de eksperimentelle resultater.

Status er da, at vi ikke har fundet signifikante mængder af reaktive urenheder i den anvendte P-12 og vi har ikke kunnet identificere systematiske fejlkilder i de foreliggende måleresultater. Derfor må vi overveje, om den beregnede værdi $k(OH+P-12)=10^7 M^{1/2}s^{-1}$ kan være realistisk under de givne forsøgsbetingelser, selvom denne værdi afgiver stort fra tidligere publicerede værdier, som imidlertid alle er beregnet på grundlag af forsøg ved meget lavere tryk, ca. 10 torr. Principielt kunne forskellen forklares ved trykafhængighed af den tilsyneladende bimolekulære hastighedskonstant.

Den eventuelle trykafhængighed, samt effekten af meget små mængder urenheder i P-12 vil blive undersøgt i en kommende forsøgsserie. Indtil resultaterne af denne forsøgsrække foreligger bør nærværende resultat tages med forbehold.

Da reaktionen repræsenterer en mulig nedbrydningsmekanisme for F-12 i troposfæren føler vi os naturligvis forpligtede til at undersøge om der er hold i den ovenstående "interessante" værdi, som ville medføre en omklassificering af F-12 fra potentielt meget skadelig til "relativt uskadelig" i relation til ozonlagsproblematikken.

REFERENCER

Atkinson, R., Hansen, D.A. and Pitts, Jr., J.N. (1975). J. Chem. Phys. 63, 1703-1706.

Bjarnov, E. (1980). Upubliceret materiale.

Buchardt, O. (1981). Mulige miljøeffekter af nuværende og fremtidige driv- og oplysningsmidler til aerosolbeholdere. Rapport no. 35 for Den Danske Miljøstyrelse.

Chang, J.S. and Kaufman, F. (1977). Geophysical Research Letters 4, 192-194.

Cox, R.A., Derwent, R.G., Eggleton, A.E.J. and Lovelock, J.E. 1976). Atmospheric Environment 10, 305-308.

Derwent, R.G. and Eggleton A.E.J. (1981). Nature 293, 387-389.

Gordon, S., Mulac, W. and Nanggia, P. (1971). J. Chem. Phys. 75, 2087-2093.

Hampson, R.F. (1980). Chemical Kinetic and Photochemical Data Sheets for Atmospheric Reactions, Federal Aviation Administration, Report no. FAA-EE-80-17.

Hansen, K.B., Wilbrandt, R. and Pagsberg, P. (1979). Rev. Sci. Instrum. 50, 1532-1538.

Howard, C.J. and Evenson, K.M. (1976). J. Chem. Phys. 64, 197-202.

New Scientist (1981), 91,596.

Tabel 1

Oversigt over de vigtige reaktioner ved pulsradioolyse af
 $\text{H}_2\text{O} - \text{Ar}$ blandinger.

	OH	H	O	O^2	HO_2	H_2O_2
OH	11	12	13		15	16
H		22	23	24	25	
O			33		35	
O_2						
HO_2					55	
H_2O_2						

Reaktion Reaktionskonstantet i $\text{M}^{-1}\text{s}^{-1}$

11a	$\text{OH} + \text{OH} = \text{H}_2\text{O} + \text{O}$	$k_{11a} = 1.1 \times 10^9$
11b	$\text{OH} + \text{OH} + \text{M} = \text{H}_2\text{O}_2 + \text{M}$	$k_{11b} = 3.8 \times 10^9$
12	$\text{OH} + \text{H} + \text{M} = \text{H}_2\text{O} + \text{M}$	$k_{12} = 5 \times 10^9$
13	$\text{OH} + \text{O} = \text{H} + \text{O}_2$	$k_{13} = 2.4 \times 10^{10}$
15	$\text{OH} + \text{HO}_2 = \text{H}_2\text{O} + \text{O}_2$	$k_{15} = 2.4 \times 10^{10}$
16	$\text{OH} + \text{H}_2\text{O}_2 = \text{H}_2\text{O} + \text{HO}_2$	$k_{16} = 4.9 \times 10^8$
22	$\text{H} + \text{H} + \text{M} = \text{H} + \text{M}$	$k_{22} = 5 \times 10^7$
23	$\text{H} + \text{O} + \text{M} = \text{OH} + \text{M}$	$k_{22} = 3 \times 10^8$
24	$\text{H} + \text{O}_2 + \text{M} = \text{HO}_2 + \text{M}$	$k_{24} = 3 \times 10^8$
25a	$\text{H} + \text{HO}_2 = \text{OH} + \text{OH}$	$k_{25a} = 1.9 \times 10^{10}$
25b	$\text{H} + \text{HO}_2 = \text{H}_2 + \text{O}_2$	$k_{25b} = 8.4 \times 10^9$
33	$\text{O} + \text{O} + \text{M} = \text{O}_2 + \text{M}$	$k_{33} = 1.6 \times 10^7$
35	$\text{O} + \text{HO}_2 = \text{OH} + \text{O}_2$	$k_{35} = 2.1 \times 10^{10}$
55	$\text{HO}_2 + \text{HO}_2 = \text{H}_2\text{O}_2 + \text{O}_2$	$k_{55} = 1.5 \times 10^9$

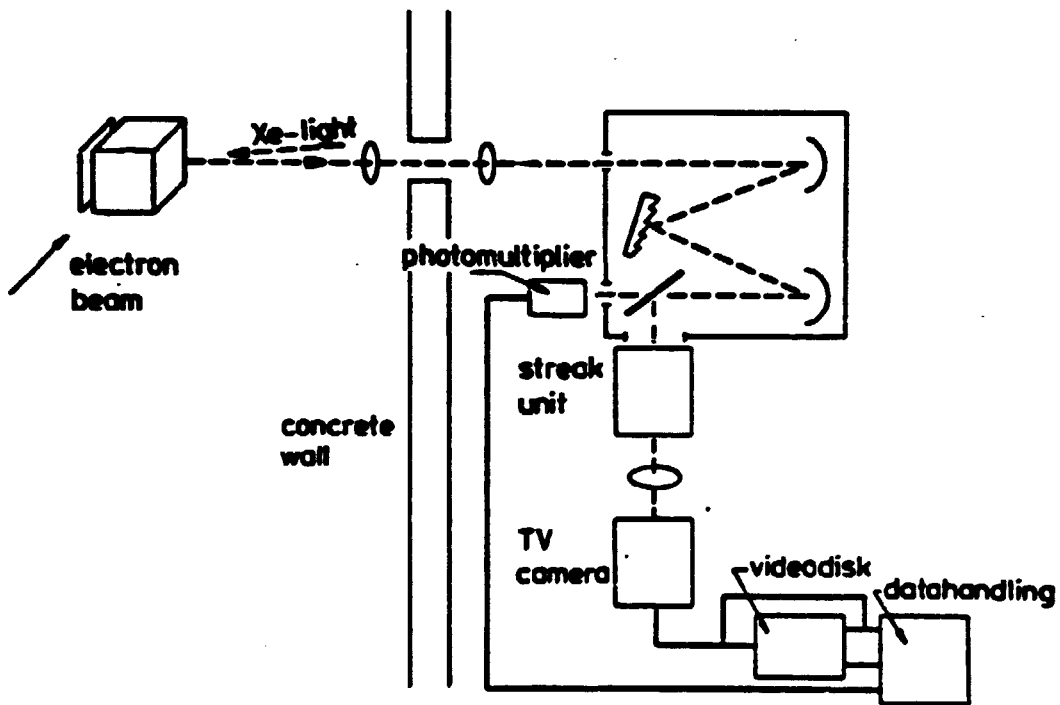
Reaktionskonstanterne for 3. ordens reaktioner er omregnet til pseudo 2. orden med en (Ar) på $1/24 \text{ M}$ efter de værdier Hampson opgiver.

Tabel 2

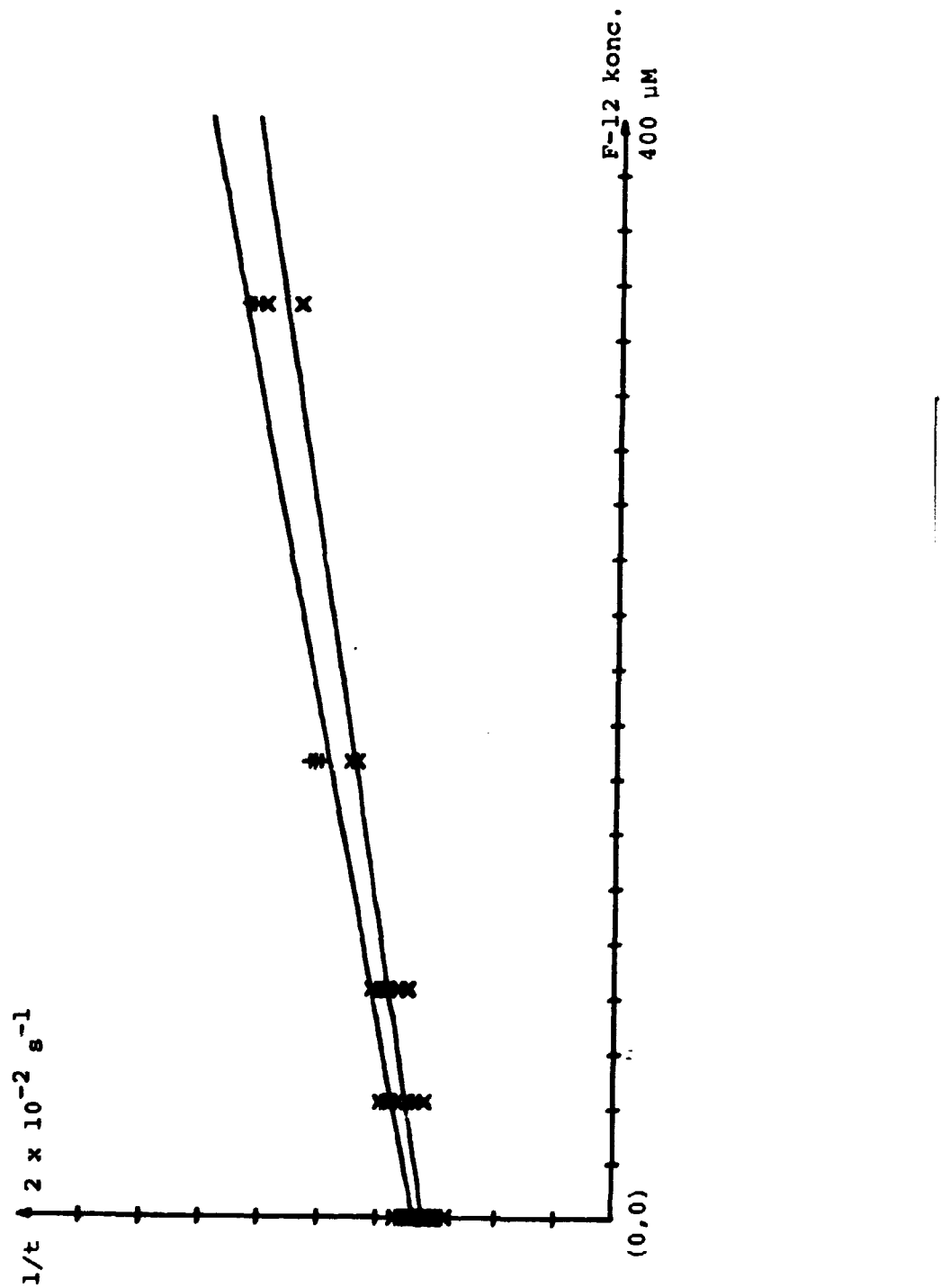
Oversigt over de i projektet bestemte hastighedskonstanter

	$k \text{ i } M^{-1}s^{-1}$ (dette projekt)	$k \text{ i } M^{-1}s^{-1}$ (andre arbejder)
OH + F-12	1.1×10^7	$< 6 \times 10^5$ (Atkinson 1975) $< 2.4 \times 10^5$ (Howard 1976) $< 6 \times 10^4$ (Cox 1976) $< 3.6 \times 10^5$ (Chang 1977)
OH + F-22	8×10^6	2.8×10^6 (Hampson)
OH + CH_3CCl_3	7.5×10^7	7.5×10^6 (Hampson)

Figur 1. Diagram over den eksperimentelle opstilling.



Figur 2. Reciprok halveringstid for OH-henfaldet plottet mod F-12 koncentrationen, for den første og den anden serie eksperimenter.



Risø - M - 2337

Title and author(s)	
TROPOSPHERIC DEGRADATION MECHANISMS OF CHLOROFLOUROCARBONS	
Ole John Nielsen, Erik Bjarnov, Palle Pagsberg and Alfred Sillesen	
13 pages + 2 tables + 2 illustrations	
Abstract	Copies to
This report is prepared in connection to a contract with The Nordic Counsil of Ministers. After a short introduction the experimental procedure is described. The derived rate constants for reactions between the hydroxyl radical and CFC-11, CFC-12, CFC-22 and methylchloroform are discussed. Future work is suggested.	
Available on request from Risø Library, Risø National Laboratory (Risø Bibliotek), Forsøgsanlag Risø, DK-4000 Roskilde, Denmark Telephone: (02) 37 12 12, ext. 2262. Telex: 43116	